

# RED DE CONTROL SÍSMICO DE LA CUENCA DEL RÍO ARAGÓN

Parte de actividad quincenal: 16 al 30 de abril de 2008

ZONA DEL EMBALSE DE ITOIZ  
(PARALELOS 42.7N-43.0N, MERIDIANOS 1.6W-1.1W)

## RED SÍSMICA

Desde el parte anterior, no se ha producido ninguna variación en la configuración actual de la red sísmica (Figura 1).

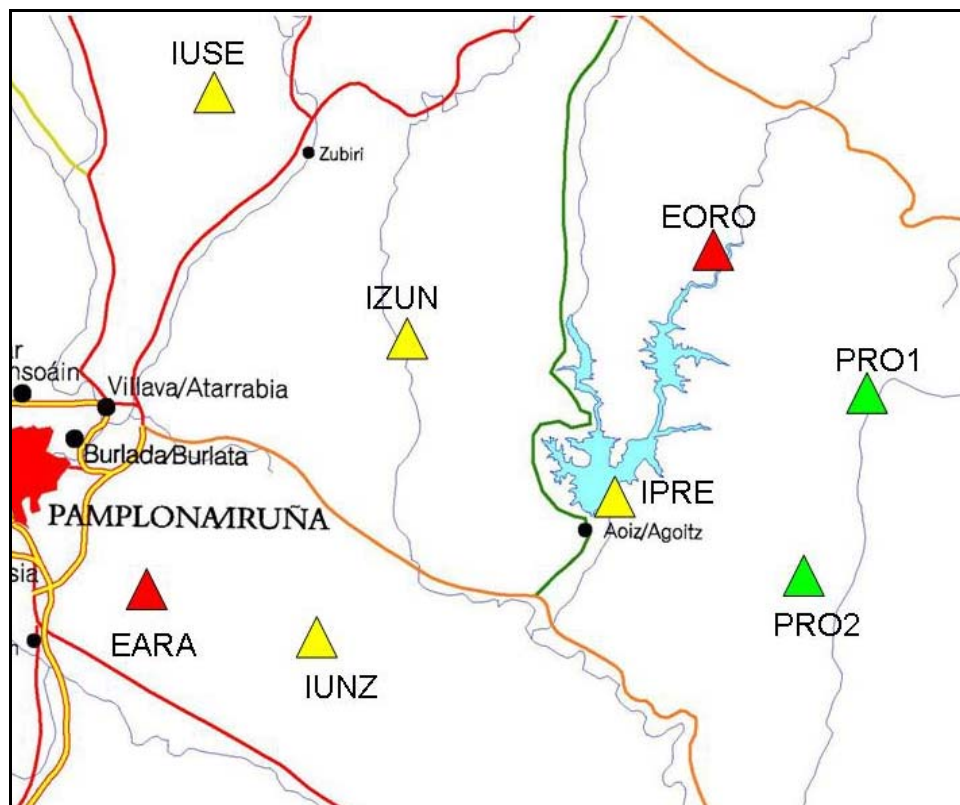


Figura 1.- Estaciones sísmicas próximas a la Presa de Itoiz. En amarillo figuran las estaciones instaladas por la Confederación Hidrográfica del Ebro. El resto han sido instaladas por el Instituto Geográfico Nacional. Las estaciones PRO1 y PRO2 disponen de instrumentación portátil.

El nivel de operatividad del conjunto de la red ha sido del 81 % según se muestra en la Figura 2.

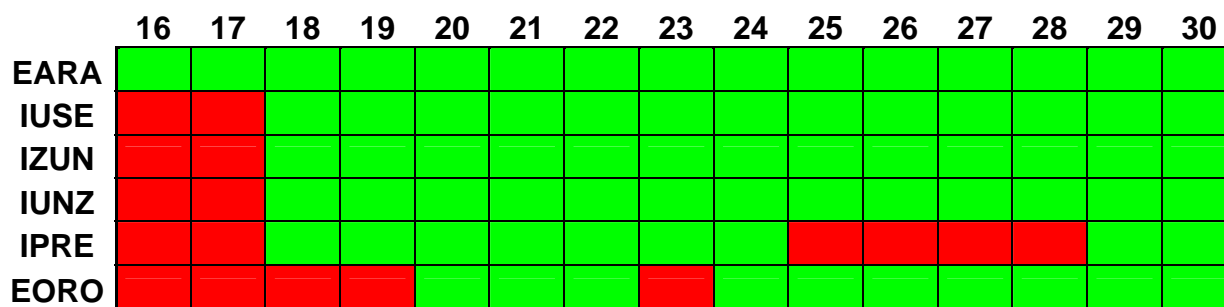


Figura 2.- Operatividad de las estaciones. Se señala en color rojo el periodo de tiempo en el que se interrumpe la secuencia de datos, por problemas en la instrumentación o en la transmisión.

## ACTIVIDAD SÍSMICA DEL PERIODO QUINCENAL 16 AL 30 DE ABRIL DE 2008

En este periodo se han localizado en la zona próxima al embalse 58 terremotos entre las magnitudes de 0,2 y 2,0:

<b>Fecha</b>	<b>Hora (TU)</b>	<b>Lat.</b>	<b>Lon.</b>	<b>Mag</b>	<b>Localización</b>
16-abr	23:28:20	42.87	-1.35	1.0	NE NAGORE.NA
17-abr	19:02:42	42.83	-1.40	1.2	SW NAGORE.NA
17-abr	19:11:49	42.83	-1.40	1.5	SW NAGORE.NA
17-abr	19:12:05	42.83	-1.39	1.4	SW NAGORE.NA
17-abr	19:24:40	42.82	-1.40	1.3	SW NAGORE.NA
18-abr	15:08:15	42.84	-1.43	1.4	W NAGORE.NA
18-abr	20:47:29	42.74	-1.25	1.2	S SANTA FE.NA
19-abr	08:33:30	42.82	-1.42	1.4	NE LIZOÁIN.NA
19-abr	16:39:16	42.83	-1.41	2.0	SW NAGORE.NA
19-abr	23:20:10	42.83	-1.41	1.6	SW NAGORE.NA
20-abr	01:06:35	42.81	-1.16	0.9	SW SARRIÉS/SARTZE.NA
20-abr	02:08:39	42.83	-1.41	1.1	SW NAGORE.NA
20-abr	10:47:28	42.83	-1.39	1.0	SW NAGORE.NA
20-abr	11:06:56	42.82	-1.41	1.0	SW NAGORE.NA
20-abr	13:45:14	42.84	-1.45	0.8	NE LIZOÁIN.NA
20-abr	14:33:20	42.91	-1.39	0.8	SE LINTZOAIN.NA
20-abr	14:33:31	42.89	-1.41	1.0	SE LINTZOAIN.NA
20-abr	16:12:53	42.79	-1.38	0.9	NW AOIZ/AGOITZ.NA
21-abr	00:14:19	42.84	-1.42	1.3	W NAGORE.NA
21-abr	02:01:39	42.80	-1.34	1.3	NE AOIZ/AGOITZ.NA
21-abr	19:15:32	42.83	-1.40	0.5	SW NAGORE.NA
22-abr	01:34:34	42.87	-1.54	1.7	E OLAVE.NA
22-abr	01:34:39	42.88	-1.57	1.9	E OLAVE.NA
22-abr	01:39:36	42.87	-1.53	2.0	E OLAVE.NA
22-abr	05:34:24	42.84	-1.43	1.2	W NAGORE.NA
22-abr	14:55:40	42.84	-1.42	1.1	W NAGORE.NA
22-abr	23:51:47	42.84	-1.43	1.0	W NAGORE.NA

<b>Fecha</b>	<b>Hora (TU)</b>	<b>Lat.</b>	<b>Lon.</b>	<b>Mag</b>	<b>Localización</b>
23-abr	01:57:19	42.71	-1.22	0.6	NE DOMEÑO.NA
23-abr	01:58:10	42.85	-1.46	0.2	N LIZOÁIN.NA
23-abr	03:57:05	42.81	-1.32	1.3	NE AOIZ/AGOITZ.NA
23-abr	06:40:37	42.87	-1.49	1.0	S ZUBIRI.NA
24-abr	04:30:58	42.85	-1.28	0.7	SE OROZ-BETELU.NA
24-abr	09:00:07	42.81	-1.35	1.7	NE AOIZ/AGOITZ.NA
24-abr	12:59:07	42.86	-1.38	0.5	NW NAGORE.NA
24-abr	14:25:49	42.81	-1.33	1.3	NE AOIZ/AGOITZ.NA
24-abr	14:28:06	42.81	-1.36	0.9	N AOIZ/AGOITZ.NA
24-abr	14:29:02	42.82	-1.34	0.9	NE AOIZ/AGOITZ.NA
24-abr	15:40:25	42.82	-1.33	0.8	SE NAGORE.NA
24-abr	16:48:06	42.80	-1.40	0.8	NW AOIZ/AGOITZ.NA
25-abr	08:09:22	42.80	-1.34	1.0	NE AOIZ/AGOITZ.NA
25-abr	14:55:50	42.87	-1.48	1.1	SE ZUBIRI.NA
26-abr	06:05:40	42.83	-1.43	1.6	NE LIZOÁIN.NA
26-abr	16:06:43	42.83	-1.43	1.1	NE LIZOÁIN.NA
26-abr	20:21:26	42.79	-1.24	0.6	N SANTA FE.NA
26-abr	21:36:50	42.82	-1.13	1.0	SW SARRIÉS/SARTZE.NA
27-abr	01:50:15	42.83	-1.36	1.1	S NAGORE.NA
27-abr	03:23:24	42.83	-1.44	0.7	NE LIZOÁIN.NA
27-abr	04:39:53	42.85	-1.33	1.1	E NAGORE.NA
28-abr	04:12:13	42.83	-1.37	0.6	S NAGORE.NA
28-abr	21:24:45	42.85	-1.47	0.6	N LIZOÁIN.NA
29-abr	04:39:34	42.82	-1.44	1.0	NE LIZOÁIN.NA
29-abr	06:04:45	42.82	-1.40	0.6	SW NAGORE.NA
29-abr	06:11:48	42.81	-1.41	1.1	NE LIZOÁIN.NA
29-abr	22:18:41	42.83	-1.42	1.0	SW NAGORE.NA
30-abr	17:33:30	42.80	-1.34	0.2	NE AOIZ/AGOITZ.NA
30-abr	18:26:00	42.82	-1.42	1.2	NE LIZOÁIN.NA

En la Figura 3 se muestra su distribución epicentral donde se observa una pequeña concentración de sismos cerca de la población de Nagore, próximo a la localización del terremoto principal del 18 de septiembre de 2004 .

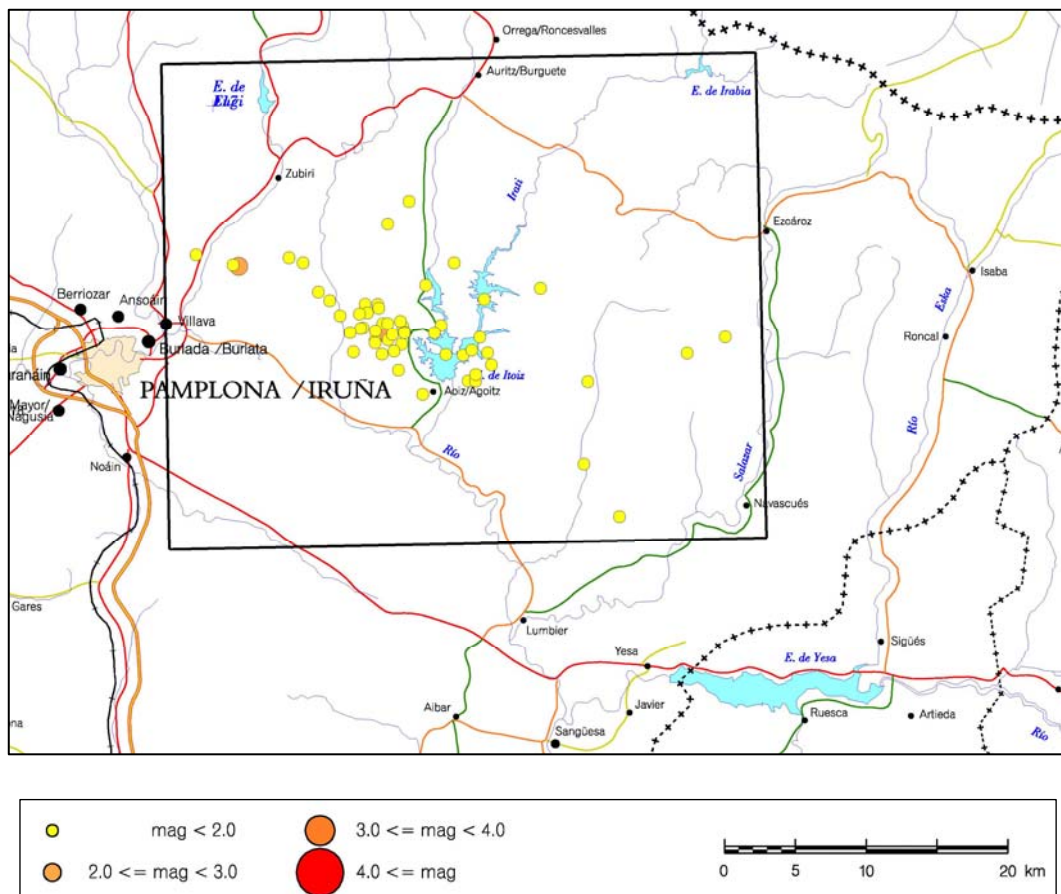


Figura 3.- Terremotos localizados en el periodo del 16 al 30 de abril de 2008 en la zona limitada por los paralelos 42,7N-43,0N y los meridianos 1,6W-1,1W.

En la Figura 4 se muestra la distribución temporal de estos terremotos.

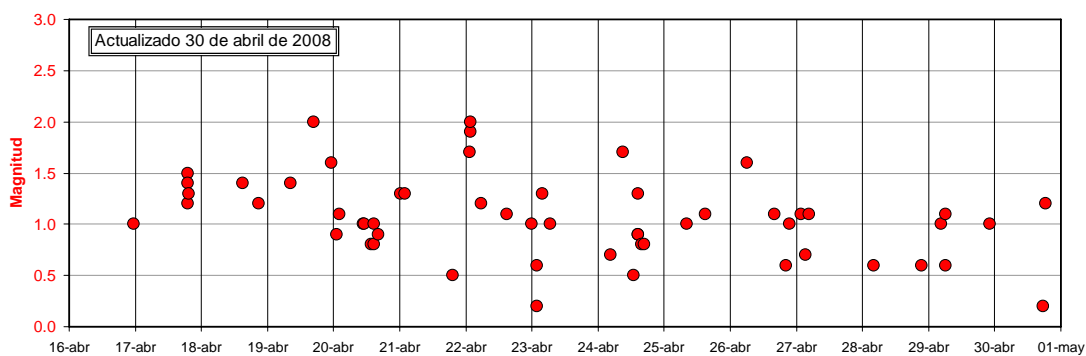


Figura 4.- Distribución temporal de los terremotos localizados en el periodo del 16 al 30 de abril de 2008 en la zona limitada por los paralelos 42,7N-43,0N y los meridianos 1,6W-1,1W.

En la Figura 5 se muestran sendos gráficos actualizados de la distribución temporal de la actividad sísmica junto con la curva de llenado del embalse.

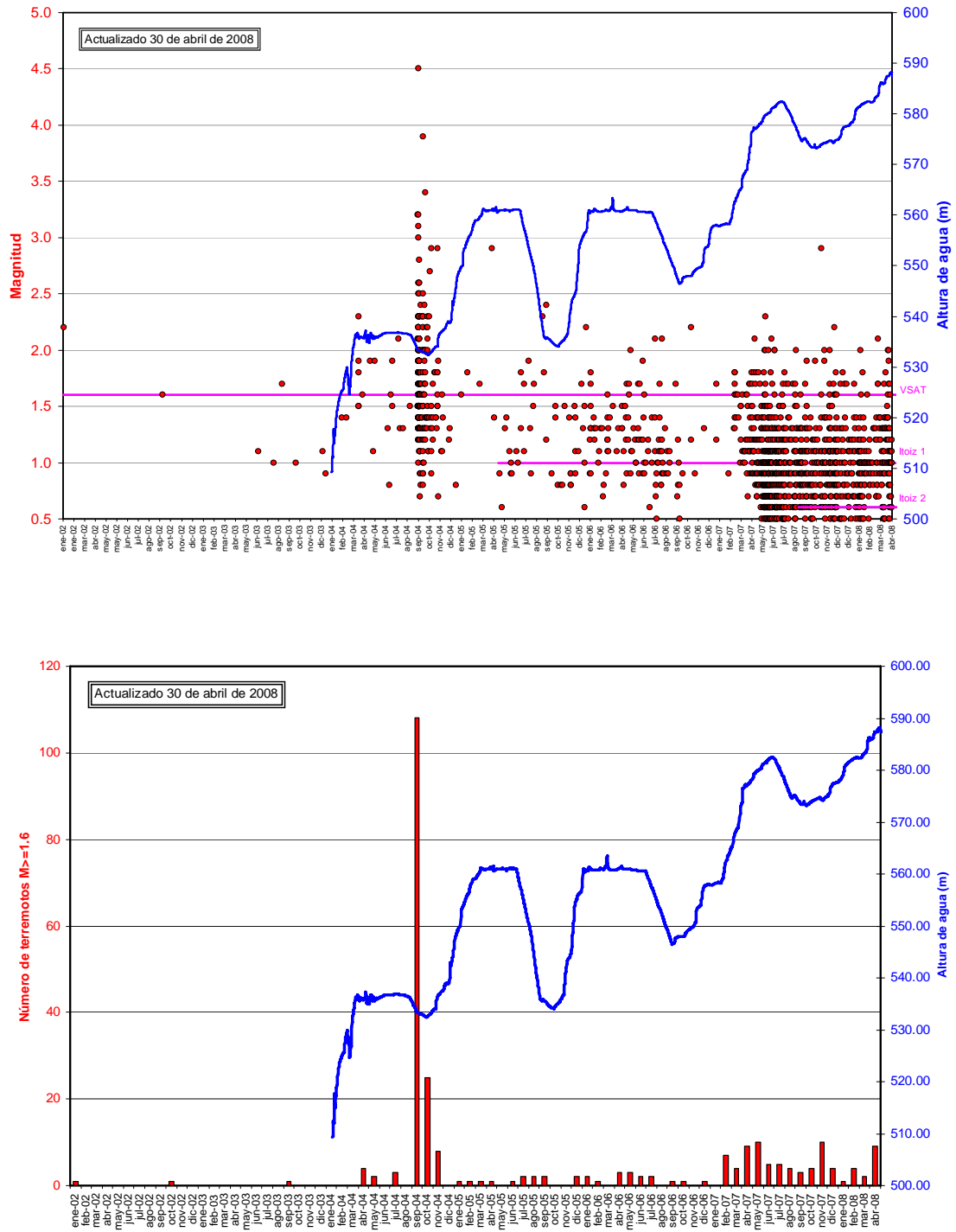


Figura 5.- Distribución temporal de los terremotos localizados en el periodo desde el 1 de enero de 2002 al 30 de abril de 2008 en la zona limitada por los paralelos 42,7N-43,0N y los meridianos 1,6W-1,1W, junto con la curva de llenado..